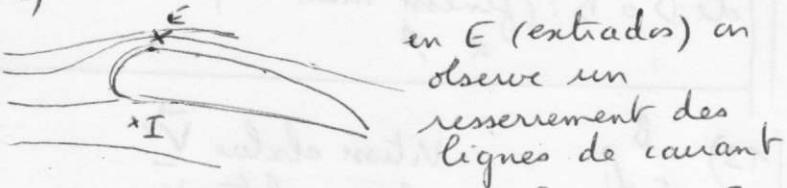


1) Une ligne de courant est tangente aux vecteurs vitesses des particules de fluide. La description est eulerienne (on observe l'ensemble des particules)

2) Loin de l'aile on a v_∞ et P_∞



ce qui correspond à une vitesse $v_E > v_\infty$
l'écoulement étant supposé parfait stationnaire incompressible on peut appliquer le théorème de Bernoulli entre 2 points d'une ligne de courant ; ici entre ∞ et E : $P_\infty + \frac{1}{2} \rho v_\infty^2 = P_E + \frac{1}{2} \rho v_E^2$

Comme $v_E > v_\infty$, on a donc $P_E < P_\infty$ (sq le terme $\rho g z$ est négligé par hypothèse)

En I (intrados) on observe un élargissement des lignes de courant ; on fait le même raisonnement ; cette fois $v_I < v_\infty$ d'où $P_I > P_\infty$

on a donc une pression plus forte P_I sous l'aile que sur l'aile ($P_I > P_E$) d'où une résultante de force de pression vers l'extrados (vers le haut) ; ceci génère la force de portance.

4) Bernoulli entre ∞ et un point situé à x (avec $\rho g z$ négligé)

$$P_\infty + \frac{1}{2} \rho v_\infty^2 = P_x + \frac{1}{2} \rho v_x^2$$

$$\text{d'où } P - P_\infty = \frac{1}{2} \rho (v_\infty^2 - v_x^2)$$

$$\text{soit } \frac{P - P_\infty}{\frac{1}{2} \rho v_\infty^2} = 1 - \frac{v_x^2}{v_\infty^2} \leq 1$$

on a bien $C_p \leq 1$ (CFD)

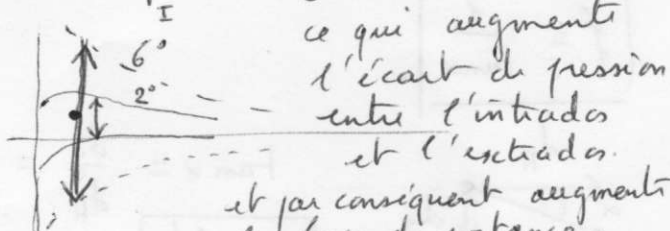
5) Etant donné que $P_I > P_E$ il nous faut $C_{pI} > C_{pE}$ donc

C_{pI} : intrados
C_{pE} : extrados

$$5) [C] \sim \frac{F}{S \rho v^2} \sim \frac{[T][L]}{[L]^2 [T]^2 [T] \frac{[L]}{[T]^2}}$$

$[C] \sim 1$ c'est adimensionné (OK)

6) C est plus important pour un angle de 6° car la différence entre C_{pI} et C_{pE} est plus forte

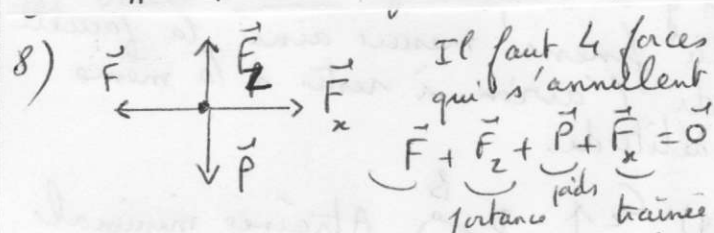


ce qui augmente l'écart de pression entre l'intrados et l'extrados.

et par conséquent augmente la force de portance.

7) Le sujet ne décrit pas vraiment les volets.

la force de portance est proportionnelle à S . Il faut donc augmenter S . Je suppose que les volets ouverts augmentent S .



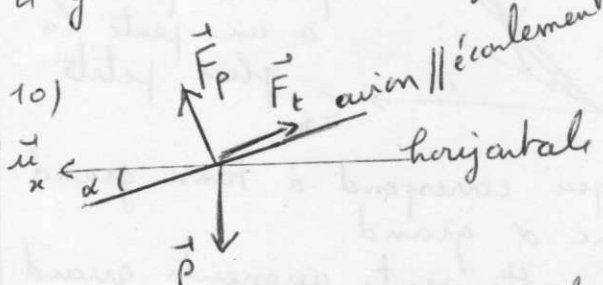
d'où F une force due à la propulsion grâce aux moteurs de l'avion.

La traînée F_d horizontale doit être compensée par F .

Ainsi $F + F_d = m \frac{dv}{dt} = \ddot{0}$ et l'avion vole à vitesse horizontale constante

sq : l'altitude de l'avion étant constante, F_d est horizontale

g) A haute altitude le poids est plus faible (g diminue) ; il faut donc moins de portance mais cet effet de gravité dérisoire. De plus l'air est rarifié en altitude il y a alors moins de frottement.



Notez ceci \Rightarrow il n'y a plus que 3 forces F_p portance \perp écoulement F_t traînée \parallel écoulement

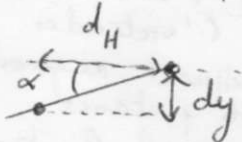
La translation doit être rectiligne et uniforme donc $\vec{F}_P + \vec{F}_T + \vec{P} = \vec{0}$

$$\text{soit } -\vec{P} = \vec{F}_P + \vec{F}_T \quad \vec{F}_P \xrightarrow{\alpha} -\vec{P}$$

Graphiquement

on voit que $\tan \alpha = \frac{F_T}{F_P} = \frac{C_x}{C_z} = \frac{1}{f}$

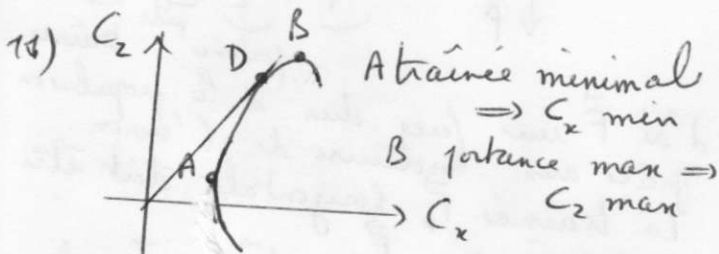
$$f = \frac{1}{\tan \alpha}$$



$$\tan \alpha = \frac{dy}{d_H} = \frac{1}{f}$$

$$d_H = f dy$$

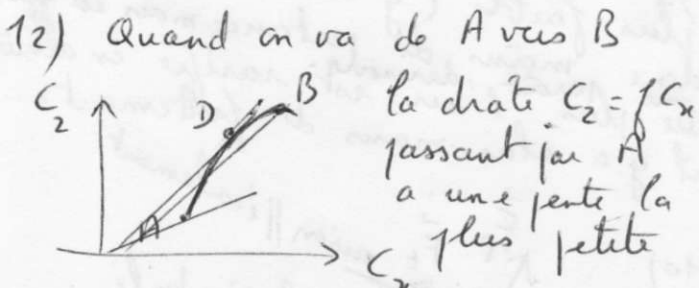
Pour une distance d_H parcourue donnée plus la finesse est grande, moins il y a de perte d'altitude.
La finesse mesure ainsi la faculté de l'avion à rester à la même altitude.



$$D \text{ finesse max} \Rightarrow \frac{Cz}{Cx} \text{ max}$$

$\frac{Cz}{Cx}$ représente la pente de $Cz = f Cx$

Elle sera max lorsque la droite $Cz = f Cx$ est tangente à la polaire.



ce qui correspond à $\tan \alpha$ grand donc α grand

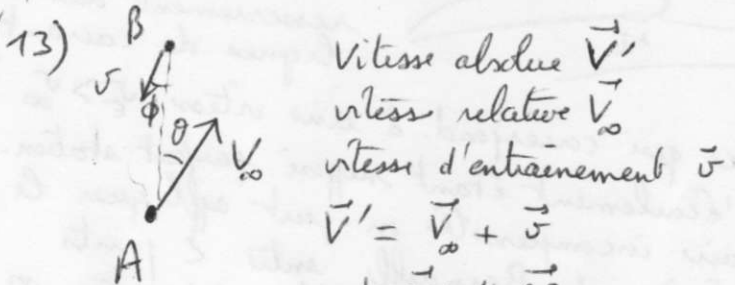
puis cette pente augmente quand on arrive en D, donc f augmente donc α diminue

puis de D à B cette pente diminue dans $f \downarrow$ donc α augmente.

Résumé :

de A à D : (traînée min à finesse max)

de D à B : (finesse max à portance max)



on veut $\vec{V}' \parallel \vec{AB}$

Projection selon la \perp à AB \Rightarrow

$$0 = +V_\infty \sin \theta - v \sin \phi$$

$$\text{soit } V_\infty \sin \theta = v \sin \phi$$

$$14) \sin \theta = \frac{v \sin \phi}{V_\infty} = \frac{56 \sin 20}{445}$$

$$\theta = 2^\circ$$

15) Durée aller $\vec{V}' = \vec{V}_\infty + \vec{v}$

Proj selon AB : $V' = V_\infty \cos \theta - v \cos \phi$

$$T_{\text{aller}} = \frac{d}{V'_{\text{aller}}} = \frac{500}{445 \cos 2 - 56 \cos 20} =$$

$$T_{\text{aller}} = 1,27 \text{ h} = 1 \text{ h } 16' 30''$$

Durée retour : $\vec{V}' = \vec{V}_\infty + \vec{v}$

Proj selon BA : $V' = V_\infty \cos \theta + v \cos \phi$

$$T_{\text{return}} = \frac{d}{V'_{\text{return}}} = \frac{500}{445 \cos 2 + 56 \cos 20} = 1,005 \text{ h}$$

$$T_{\text{return}} = 1 \text{ h}$$

$$T = T_{\text{aller}} + T_{\text{return}} = 2 \text{ h } 16'$$

Sans vent : $T' = \frac{2d}{V'}$ avec $V' = V_\infty$ et $\theta = 0^\circ$

$$T' = \frac{2 \times 500}{445} = 2 \text{ h } 14'$$

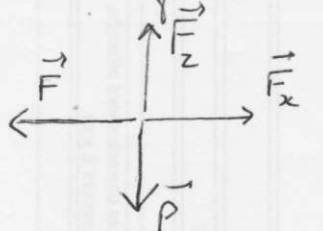
Le retard à l'aller est quasiment compensé

16) (Question ouverte)

(2 hrs)

Dans cette question, les moteurs sont allumés. On n'a donc plus la relation $f = \frac{1}{C_x}$ de 10)

On donne $f = 10$ donc



$$\left| \begin{array}{l} C_z \\ C_x \end{array} \right| = 10$$

Je suppose que sur la piste, l'avion reste horizontal

PFD:

$$\left| \begin{array}{l} \vec{F} + \vec{F}_z = m \frac{dv}{dt} \\ \vec{P} + \vec{F}_z = 0 \end{array} \right| \quad \begin{array}{l} \text{projete horizontalement} \\ \text{projete verticalement} \end{array}$$

$$\rightarrow \|\vec{F}_z\| = \|\vec{P}\| = mg$$

Comme $\|\vec{F}_z\| = \frac{C_z}{C_x} \|\vec{F}_x\|$ puisque $C_z = \frac{F_z}{\frac{1}{2} S_y \rho_{air} v^2}$ et $C_x = \frac{F_x}{\frac{1}{2} S_y \rho_{air} v^2}$

$$\|\vec{F}_z\| = \frac{1}{10} mg$$

Proj algébrique selon x : $F - \frac{mg}{10} = m \frac{dv}{dt}$

Enoncé : la vitesse atteinte en bout de piste est 260 km/h.
Je suppose que F est constante alors par intégration

$$v - v_{initial} = \left(\frac{F}{m} - \frac{g}{10} \right) t$$

Pour évaluer le temps mis à parcourir la piste, ce n'est pas très facile. Je préfère estimer la longueur de la piste parcourue $L = 1 \text{ km}$

$$F - \frac{mg}{10} = m \frac{dv}{dt} \xrightarrow{\times v} \left(F - \frac{mg}{10} \right) v = m v \frac{dv}{dt}$$

$$v = \frac{dx}{dt} \rightarrow \left(F - \frac{mg}{10} \right) dx = m v dv$$

$$\left(F - \frac{mg}{10} \right) L = \frac{1}{2} m v^2 - 0$$

$$\boxed{F = \frac{1}{2} \frac{m v^2}{L} + \frac{mg}{10}} = \frac{1}{2} \frac{500 \times 10^3}{3600^2 \times 10^3} \frac{260^2 \times 10^6}{10} + \frac{500 \times 10^3 \times 10}{10}$$

$$F = 500 \times 10^3 [2,6 + 1] = 1800 \times 10^3 \text{ N} = \underline{1800 \text{ kN}}$$

Je trouve presque 5 fois plus...
Je trouve facilement au minimum $\frac{17g}{10}$ dans mon raisonnement
y a donc un problème!



18) Fluid parfait incompressible stationnaire \Rightarrow Bernoulli sur 1 L.C.
L.C aboutissant en F où $v_F = 0$ (point d'arrêt)

$$\rho_\infty + \frac{1}{2} \rho v_\infty^2 = \rho_F + 0$$

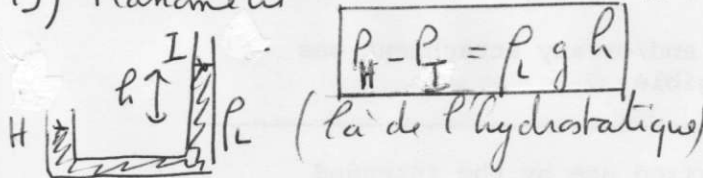
$$\rightarrow \rho_F = \rho_\infty + \frac{1}{2} \rho v_\infty^2$$

L.C le long de G :

$$\rho_\infty + \frac{1}{2} \rho v_\infty^2 = \rho_G + \frac{1}{2} \rho v_G^2$$

Je ne vois pas de relation supplémentaire qui permette de relier les expressions de ρ_G en fonction de ρ_∞ , v_∞ sauf peut-être $v_G \approx v_\infty$ ce qui impliquerait $\rho_G \approx \rho_\infty$

19) Manomètre $P_H = P_I$ (loi de l'hydrostatique)



20) On peut considérer la pression uniforme dans la partie air du manomètre car $P_A \ll P_L$ (rapport 10^3)

$$P_F = P_H$$

De même $P_G = P_I$

Par différence $P_F - P_G = P_H - P_I = \rho g h$

$$\text{A partir de 18)} P_F - P_G = \frac{1}{2} \rho v_G^2$$

$$\text{Ainsi } v_G^2 = \frac{2 \rho g h}{\rho} \quad (\text{peut-être } v_G \approx v_\infty)$$

A mon avis c'est v_G qui nous intéresse puisque c'est la vitesse de l'airion (ou de l'échauffement / airion)

$$h \uparrow \text{ si } v_G \uparrow$$

21) Plan \propto uniformément chargé
 $E = \frac{\sigma}{2\epsilon_0} \vec{n}$ normale à partir du plan

$$\uparrow z \quad +\sigma/A_1 \quad z=e$$

$$\text{Entre les plans: } \frac{\vec{E}}{A_1} = \frac{\sigma}{2\epsilon_0} (-\vec{u}_z) \quad \frac{\vec{E}}{A_2} = -\frac{\sigma}{2\epsilon_0} \vec{u}_z$$

$$-\sigma/A_2 \quad z=0$$

$$\text{Superposition: } \vec{E} = \vec{E}_{A_1} + \vec{E}_{A_2} = -\frac{\sigma}{\epsilon_0} \frac{\vec{u}_z}{2} \quad (\text{OK})$$

$$22) dV = -\vec{E} \cdot d\vec{r} = -\left(-\frac{\sigma}{\epsilon_0}\right) \vec{u}_z \cdot \left(\frac{dx \hat{x} + dy \hat{y}}{dz \hat{u}_z}\right)$$

$$dV = \frac{\sigma}{\epsilon_0} dz$$

$$\text{Intégrer entre } A_2 \text{ et } A_1 \quad [V]_{A_2}^{A_1} = \frac{\sigma}{\epsilon_0} [z]_0^e$$

$$V_{A_1} - V_{A_2} = \frac{\sigma}{\epsilon_0} e$$

$$\text{Définition de la capacité: } V_{A_1} - V_{A_2} = \frac{Q_{A_1}}{C}$$

$$\text{or } Q \text{ (charge portée par } A_1) = \sigma S$$

$$\text{d'où } \frac{\sigma e}{\epsilon_0} = \frac{\sigma S}{C}$$

$$\text{Ainsi } C = \frac{\epsilon_0 S}{e}$$

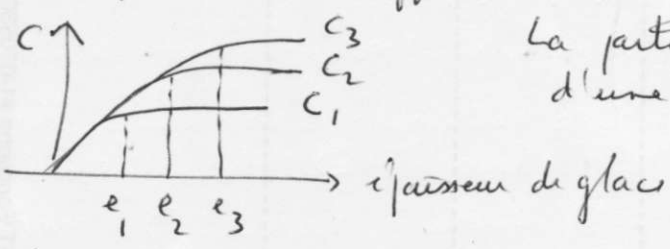
$$\text{Si milieu diélectrique, on admet } C = \frac{\epsilon \epsilon_0 S}{e}$$

23) Ici les électrodes (ou plans \propto) sont l'une à côté de l'autre. Les lignes de champ \vec{E} partent de l'une (chargée +) pour rejoindre l'autre (chargé -), d'où la forme en demi-cercle.

La capacité diminue si $e \uparrow$ pour un condensateur plan où e est la longueur des lignes de champ.

Pour les condensateurs 1, 2 et 3 on remarque que les lignes de champ

qui augmente en longueur, ce qui devrait avoir l'effet de diminuer C , mais on a aussi des surfaces plus grandes manifestant l'effet de S l'emporte, ainsi $C_1 < C_2 < C_3$. (7)



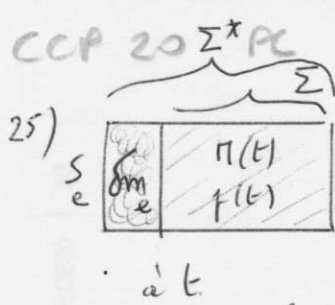
La partie constante de C apparaît à partir d'une certaine épaisseur de glace

C_1 est sensible à une épaisseur faible moyenne élevée

Les tailles différentes permettent des sensibilités différentes selon l'épaisseur de glace existante.

- 24) Le son se propage dans la glace à une vitesse différente que dans l'air; probablement plus vite $v_{\text{glac}} > v_{\text{air}}$.

Le son mettra donc des durées différentes à aller de l'émetteur au détecteur en traversant des couches de glace + ou - grandes. Ces durées permettent de remonter à l'épaisseur de glace traversée.



Le système Σ^* fermé a une masse totale constante.

$$A t \quad \tilde{p}^*(t) = \tilde{f}(t) + \delta m_e \tilde{v}_e$$

$$26) A t+dt \quad \tilde{p}^*(t+dt) = \tilde{f}(t+dt) + \delta m_{t+dt} \tilde{v}_{t+dt}$$

27) En régime stationnaire le système Σ ne voit pas sa quantité de mouvement varier : $\tilde{f}(t) = \tilde{f}(t+dt)$

$$\text{Alors } d\tilde{p}^* = \tilde{p}^*(t+dt) - \tilde{p}^*(t)$$

$$d\tilde{p}^* = \delta m_{t+dt} \tilde{v}_{t+dt} - \delta m_t \tilde{v}_t$$

De plus la masse de Σ^* est invariante (syst. fermé) donc

$$\delta m_t + \Pi(t) = \Pi(t+dt) + \delta m_{t+dt}$$

Et en régime stationnaire $\Pi(t) = \Pi(t+dt)$
donc $\delta m_t = \delta m_{t+dt}$

$$\text{le débit massique } D_m = \frac{\delta m_t}{dt} = \frac{\delta m_{t+dt}}{dt}$$

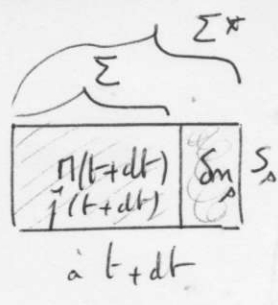
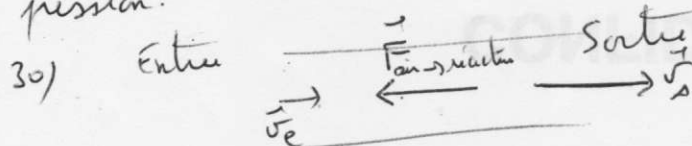
$$\text{Ainsi } \frac{dp^*}{dt} = D_m (\tilde{v}_{t+dt} - \tilde{v}_t)$$

28) Le système subit comme forces principales (poids négligé)
la force du réacteur
les forces de pression à l'entrée
à la sortie

$$29) \text{ PFD } \frac{dp^*}{dt} = \text{Forces subies par } \Sigma^* \text{ à } \Sigma$$

$$D_m (\tilde{v}_{t+dt} - \tilde{v}_t) = \tilde{F}_{\text{réacteur}} + \tilde{F}_e + \tilde{F}_s$$

Si on approxime $D_m (\tilde{v}_{t+dt} - \tilde{v}_t) = \tilde{F}_{\text{réacteur}}$
cest que l'on a négligé les forces de pression.



D'après la description du turbo réacteur $v_s >> v_e$ donc \tilde{F} est dans le sens de l'écoulement (gauche vers droite ou entrée vers sortie)

donc, comme $\tilde{F}_{\text{air} \rightarrow \text{réacteur}} = -\tilde{F}_{\text{réacteur} \rightarrow \text{air}}$ (principe d'action-réaction), on déduit que $\tilde{F}_{\text{air} \rightarrow \text{réacteur}}$ va de la sortie vers l'entrée (cf schéma)

C'est bien le principe de la propulsion : l'air propulsé vers l'arrière (sortie), se déplace vers l'avant (entrée).

32) L'énoncé indique que la transformation $1 \rightarrow 2$ est adiabatique réversible.

$$\text{Le gaz est supposé parfait.}$$

$$\text{Loi de Laplace : } T_1^{1-\gamma} \frac{V_1^\gamma}{T_2} = T_2^{1-\gamma} V_2^\gamma$$

$$\text{soit } T_2 = T_1 \left(\frac{T_1}{T_2} \right)^{\frac{1}{1-\gamma}}$$

$$31) \text{ Appliquons le } 1^{\text{er}} \text{ principe au fluide qui s'écale entre } 1 \text{ et } 2 :$$

$$h_2 - h_1 + \frac{v_2^2 - v_1^2}{2} + g(z_2 - z_1) = w_{12} + q_{12}$$

L'énoncé dit que 12 est un diffuseur
alors $w_{12} = 0$ (pas de pièces mécaniques)

Le diffuseur est adiabatique : $q_{12} = 0$

Le gaz est parfait : $h_2 - h_1 = c_p (T_2 - T_1)$

L'énergie cinétique en sortie est négligeable
donc $v_2 \approx 0$,

L'air va à la vitesse V_a donc l'air entre à cette vitesse : $v_1 = V_a$

Les variations d'énergie potentiel sont négligeables donc $z_2 - z_1 \approx 0$

$$\text{Ainsi : } c_p (T_2 - T_1) - \frac{V_a^2}{2} = 0$$

$$\text{d'où } T_2 = T_1 + \frac{V_a^2}{2 c_p}$$

$$\text{AN } T_2 = -40 + \frac{260}{2 \times 1,1 \times 10^3} = -9,3^\circ C$$

$$\text{d'où } T_2 = 34,5 \times 10^3 \left(\frac{-40 + 273}{-9,3 + 273} \right)^{\frac{1,35}{1,35}} = 263,7 K$$

$$T_2 = 55,6 \times 10^3 \text{ Pa}$$

33) Le compresseur est l'étape 2-3
 1^{er} principe sur 2-3 : $h_3 - h_2 + \frac{v_3^2 - v_2^2}{2} = w_{23} + q_{23}$

"compression adiabatique" $\rightarrow q_{23} = 0$

ici $w_{23} = w_{\text{comp}}$ demandé

GP : $h_3 - h_2 = c_p(T_3 - T_2)$

compression adiab. rev : $T_3^{1-\gamma} = T_2^{1-\gamma}$
 d'où $\frac{T_3}{T_2} = T_2 \left(\frac{12}{13} \right)^{\frac{1-\gamma}{\gamma}} = T_2 \cdot 10^{\frac{-1}{\gamma}}$

L'énoncé dit que "l'énergie cinétique est supposée négligeable entre l'entrée du compresseur et la sortie de la turbine" donc $v_3^2 - v_2^2$ peut être négligé.

Ainsi $c_p T_2 \left[10^{\frac{1-\gamma}{\gamma}} - 1 \right] = w_{\text{comp}}$

C'est bizarre que l'énoncé donne T_3

Vérifions par notre relation ci-dessus

$T_3 = (-9,3 + 273) \cdot 10^{\frac{-135}{135-1}} = 479 \text{ K}$

c'est proche du 480 K indiqué dans l'énoncé. Tant mieux !

Avec $T_3 = 480 \text{ K}$

$w_{\text{comp}} = c_p (T_3 - T_2)$

$w_{\text{comp}} = 1,1 \times 10^3 (480 - 263,7)$

$w_{\text{comp}} = 238 \text{ kJ/kg}$

Le compresseur fournit bien de l'énergie à l'air donc $w_{\text{comp}} > 0$

Pendant dt $\delta W_{\text{comp}} = \delta m w_{\text{comp}}$

$\delta W_{\text{comp}} = D_m dt w_{\text{comp}}$

$\frac{P_{\text{comp}}}{w_{\text{comp}}} = \frac{\delta W_{\text{comp}}}{dt} = \frac{D_m w_{\text{comp}}}{dt}$

$\frac{P_{\text{comp}}}{w_{\text{comp}}} = 45 \times 238 = 10,7 \text{ MW}$ (6)

34) Compresseur : $c_p(T_3 - T_2) = w_{\text{comp}}$

Turbine 45 $c_p(T_5 - T_4) = w_{\text{turbine}}$
 (m^{me} principe que le compresseur)

L'énoncé indique que $w_{\text{comp}} > w_{\text{turbine}}$
 Attention aux signes : $w_{\text{comp}} > 0$ et $w_{\text{turbine}} < 0$
 donc $T_3 - T_2 = -(T_5 - T_4)$

Ainsi $T_5 = T_4 - T_3 + T_2$

AN $T_5 = 1400 - 480 + 263,7 = 1184 \text{ K}$

La turbine est adiabatique reversible le gaz est parfait : $T_4^{\frac{1-\gamma}{\gamma}} = T_5^{\frac{1-\gamma}{\gamma}}$

alors $T_5 = T_4 \left(\frac{T_4}{T_5} \right)^{\frac{1-\gamma}{\gamma}}$

→ Echauffement 34 isobare : $T_4 = T_3$

AN $T_5 = 10 \times 55,6 \times 10^3 \left(\frac{1400}{1184} \right)^{\frac{1,35}{-0,35}}$

$T_5 = 291 \cdot 10^3 \text{ Pa}$

35)

La tuyere est le dernier élément entre 5 et 6

$c_p(T_6 - T_5) + \frac{1}{2} \frac{v_s^2}{\rho} - 0 = 0 + 0$

↑ adial.
 ↑ pas de perte mécaniques dans la tuyere
 énergie cinétique négligée en sortie de turbine 4
 donc en entrée de tuyere 4

d'où $\frac{v_s^2}{\rho} = -2 c_p (T_6 - T_5)$

AN $\frac{v_s}{\rho} = \sqrt{-2 \times 1,1 \times 10^3 (680 - 1184)}$

$\frac{v_s}{\rho} = 1053 \text{ ms}^{-1}$

Rq : c'est supersonique $\frac{v_s}{v_{\text{son}}} > 1$

$$36) \quad P_{pq} = \frac{F_{\text{nature}}}{\rho_{\text{populaire}}} \cdot v_a \leftarrow \begin{array}{l} \text{la vitesse} \\ \rightarrow \text{air} \end{array}$$

de l'airion

$$\boxed{\frac{P_{pq}}{\rho_{pq}} = D_m (v_s - v_e) v_a}$$

$$\text{AN } \frac{P_{pq}}{\rho_{pq}} = \frac{45(1053 - 260)}{260} = 9,28 \text{ MW}$$

$$37) \quad \gamma = \frac{P_{pq}}{P_{\text{cham}}} = \frac{9,28 \cdot 10^6}{45,5 \cdot 10^6} = 20,4\%$$

on tient $P_{\text{populaire}} = P_{\text{turbine}} = P_{\text{composante}}$

$$\underline{P_{\text{populaire}} = 10,7 \text{ MW}} \quad (\text{calculé en 34})$$

Cela donnerait $\gamma = \frac{10,7}{45,5} = 0,23 = 23\%$

ce qui est, certes assez faible, mais dans le même ordre de grandeur.

Comparé à d'autres machines thermiques, ce rendement est plus faible

$$38) \quad \left[\sqrt{c_p T_e} \right] \sim \sqrt{h} \quad (\text{enthalpie messique})$$

$$\sim \sqrt{\frac{\text{énergie}}{\text{mass}}}$$

$$\text{or } [E_{\text{messique}}] \sim [n] [\text{vitesse}]^2$$

dans $\sqrt{\frac{\text{énergie}}{\text{mass}}} \sim \text{vitesse}$

on a bien $\sqrt{c_p T_e} \sim \text{vitesse}$ (OK)

g) Le débit messique $D_m = \rho S v$
 ρ S et v à l'absisse x

$G(x)$ est donnée par $\sqrt{v_e^2 + 2c_p T_e} \left[1 - \left(\frac{P_{x1}}{P_e} \right)^{\frac{1}{\gamma-1}} \right]$

on a $D_m = \rho S \sqrt{v_e^2 + 2c_p T_e} \left[1 - \left(\frac{P_{x1}}{P_e} \right)^{\frac{1}{\gamma-1}} \right]$

on cherche à écrire $D_m = \rho v_m S_G$ (7)

Ainsi $\rho \sqrt{v_e^2 + 2c_p T_e} \left[1 - \left(\frac{P_{x1}}{P_e} \right)^{\frac{1}{\gamma-1}} \right] = \rho v_m S_G$

Comment éliminer ρ ($= P(x)$) ?

Dans la tuyère, la transformation est adiabatique reversible par le gaz parfait ainsi $\gamma V^\gamma = \text{cte}$ ou encore $\frac{1}{V^\gamma} = \text{cte}$

sit $\frac{1}{P_e^\gamma} = \frac{1}{V^\gamma}$ d'où $P = P_e \left(\frac{1}{V} \right)^{\frac{1}{\gamma}}$

alors $P_e \left(\frac{1}{V} \right)^{\frac{1}{\gamma}} \sqrt{v_e^2 + 2c_p T_e} \left[1 - \left(\frac{P_{x1}}{P_e} \right)^{\frac{1}{\gamma-1}} \right] = \rho v_m S_G$

et $G(x) = \left(\frac{P_{x1}}{P_e} \right)^{\frac{1}{\gamma}} \sqrt{v_e^2 + 2c_p T_e} \left[1 - \left(\frac{P_{x1}}{P_e} \right)^{\frac{1}{\gamma-1}} \right]$

(Rappel $v_m = \sqrt{c_p T_e}$)

40) Entrée tuyère : $x=0$, $P(x=0) = P_e$

donc $\alpha = 1$

on souhaite $v \uparrow$

Or D_m reste constant, c'est à dire $\rho v_m S_G G(x)$

ou mieux $S_G G(x) = \text{cte}$

Le courbe $G(x)$ montre que à partir de $x=1$, G ne peut que croître puisque $G(x=1) = 0$ et $G > 0$

donc $G \uparrow$ donc $S \downarrow$ pour satisfaire $S_G G(x) = \text{cte}$

Ainsi la tuyère doit être convergente

41) Si la tuyère est totalement convergente, alors $S \downarrow$ et donc G ne peut que croître, et ce jusqu'à sa valeur maximale correspondant donc à $\alpha_c = \left(\frac{2}{1+\gamma} \right)^{\frac{1}{\gamma-1}}$

On a alors atteint une pression max

$$P_{\max c} = \alpha_c P_e$$

On (évidemment) $v_{\max} = \sqrt{v_e^2 + 2c_p T_e} \left[1 - \left(\frac{P_{\max c}}{P_e} \right)^{\frac{1}{\gamma-1}} \right]$

$$\text{soit } v(x) = \sqrt{\frac{v_e^2}{e} + \frac{P}{m} \left(1 - \alpha_c^{\frac{x-1}{\gamma}}\right)}$$

$$v_{\text{max}} \approx v_m \sqrt{1 - \frac{2}{1+\gamma}}$$

$$v_{\text{lim}} = v_m \sqrt{\frac{\gamma-1}{1+\gamma}}$$

$$\text{Pour un gaz parfait } P = \frac{P_e R T_e}{M} \quad (8)$$

$$\text{donc } \frac{R T_e}{M} = \frac{P_e}{P_e}$$

De plus la transformation est adiabatique reversible, donc la loi de Gay-Lussac donne $P V^\gamma = cte$
on a $\frac{P}{P_e^\gamma} = cte$ soit $\frac{P_e}{P_e^\gamma} = \frac{P}{P^\gamma}$

$$P_e = P \left(\frac{1}{f}\right)^{\frac{1}{\gamma}}$$

$$\Rightarrow v_{\text{lim}} = \sqrt{\frac{2\gamma f_e}{\gamma+1} P_e} = \sqrt{\frac{2\gamma}{\gamma+1} \frac{1}{f_e^{\frac{\gamma-1}{\gamma}+1}} P^{\frac{1}{\gamma}}}$$

mais v_{lim} correspond à $f = f_{\text{max}} = \alpha f_e$

$$\text{d'où } v_{\text{lim}} = \sqrt{\frac{2\gamma}{\gamma+1} \frac{f^{\frac{1-\frac{1}{\gamma}}{\gamma}+\frac{1}{\gamma}}}{P \alpha^{\frac{1-\frac{1}{\gamma}}{\gamma}}}}$$

$$\text{on reprend } \alpha = \left(\frac{2}{1+\gamma}\right)^{\frac{\gamma}{\gamma-1}} \text{ (valeur max)}$$

$$\rightarrow v_{\text{lim}} = \sqrt{\frac{2\gamma}{\gamma+1} \frac{f}{P \alpha^{\frac{1}{\gamma}}}}$$

$$\text{on retrouve bien } v_{\text{lim}} = \sqrt{\frac{v_e}{P}} \quad (\text{OK})$$

$$44) \text{ Rappel } f_{\text{max}} = \alpha_c f_e$$

$$\text{on veut } f_{\text{max}} = f_{\text{atm}}$$

$$\text{d'où } f_e = \frac{f_{\text{atm}}}{\alpha_c} = f_{\text{atm}} \left(\frac{1+\gamma}{2}\right)^{\frac{\gamma}{\gamma-1}}$$

$$\text{AN } f_e = 34,5 \cdot 10^3 \left(\frac{1+1,35}{2}\right)^{\frac{1,35}{0,35}}$$

$$f_e = 64,3 \text{ kPa}$$

$$45) \text{ Pour atteindre une vitesse plus élevée il faut diminuer la pression (d'après Bernoulli) donc } \alpha \quad (\alpha = \frac{f}{f_e})$$

cf graphique: $G(\alpha) \rightarrow$ quand $\alpha \rightarrow \infty$ à partir de α_c .

(avec $D_m = f_e v_m S G = cte$, on voit que S doit ∇ . De convergente la tuyère passe à divergente).

$$42) \text{ on avait vu que } S_{(2)} G(x) = cte$$

au col la vitesse est max v_m

et x vaut α_c

$$\text{donc } S_e G(x=0) = S_{\text{col}} G(\alpha_c)$$

$$\text{A l'entrée } P(x) = P_e \text{ et } G(x=0) = \frac{v_e}{v_m}$$

(cf expression du 39 pour $G(x)$)

$$\text{donc } S_e \frac{v_e}{v_m} = S_{\text{col}} G(\alpha_c)$$

$$\text{et } \boxed{\frac{S_{\text{col}}}{S_e} = \frac{v_e}{v_m} G(\alpha_c)}$$

$$\text{Sur la fig. 13 } G(\alpha_c) \approx 5,2$$

$$\text{donc } \frac{S_{\text{col}}}{S_e} = \frac{100}{1000 \cdot 5,2} \approx 0,02$$

$$43) v_{\text{lim}} = v_m \sqrt{\frac{\gamma-1}{\gamma+1}} \text{ d'après 41)$$

$$\text{or } v_m = \sqrt{2 c T_e} \text{ et } c_p = \frac{R}{M} \cdot \frac{\gamma}{\gamma-1}$$

$$\text{donc } \boxed{v_{\text{lim}} = \sqrt{\frac{2 R T_e \gamma}{(\gamma+1) M}}} \quad (\text{OK})$$

Notons que c'est la vitesse du son donnée dans l'énoncé

$$\sqrt{\frac{\gamma P}{P}}$$